

การตัดแปลงเอลิเม้นต์ผิวโค้งเก้าระดับชั้นความเร็วเพื่อเพิ่มความแม่นยำในการคำนวณสนามไฟฟ้า

The Modification of 9-DOF Curve Elements to Increase Accuracy in Electric Field Calculation

นิติพงศ์ ปานกลาง¹

บทคัดย่อ:

บทความนี้เสนอวิธีการเพิ่มความแม่นยำของผลเฉลยจากการคำนวณสนามไฟฟ้า การเพิ่มความแม่นยำของผลเฉลยทำโดยการตัดแปลงเอลิเม้นต์ผิวโค้งเก้าระดับชั้นความเร็วในส่วนการคำนวณเวกเตอร์ตั้งจากหนึ่งหน่วย ณ ปมทั้งสามของเอลิเม้นต์การคำนวณเวกเตอร์ตั้งจากหนึ่งหน่วยจะคิดผลของขนาดมุม ϕ ที่ปมและผลของขนาดเอลิเม้นต์ที่ต่อร่วมกันอยู่ ณ ปม ได้ θ จากผลการคำนวณพบว่า การคิดผลของมุม ϕ ร่วมกับผลขนาดของเอลิเม้นต์สามารถลดความคลาดเคลื่อนเฉลี่ยของสนามไฟฟ้าลงจาก 1.77 เปอร์เซ็นต์เหลือ 0.68 เปอร์เซ็นต์หรือลดลงประมาณ 62 เปอร์เซ็นต์ ค่าสำคัญ: วิธีประจุพื้นผิว, เอลิเม้นต์ผิวโค้งเก้าระดับชั้นความเร็ว และวิธีการเดียนซ์สังยุคคูณแบบเสถียร

Abstract:

This paper presents the method of improving result accuracy in electric field calculation. This method was done by modifying the 9-DOF Element in unit normal vector calculation at the three element nodes. The unit normal vector calculation included the effect of corner angle and area of an element that were connected to any node. The result shows that the use of appropriate angle size and element area can reduce the average

error from 1.77% to 0.68%, or 62% by percentage.

Keyword: Surface Charge Method, Nine Degree of Freedom Curve Element and Biconjugate Gradient Stabilized.

1. บทนำ

ปัจจุบันมีวิธีเชิงตัวเลขหลายวิธีที่นิยมนำมาคำนวณสนามไฟฟ้ากับปัญหาทางด้านวิศวกรรมไฟฟ้าแรงสูง วิธีประจุพื้นผิว (Surface Charge Method, SCM) เป็นวิธีเชิงตัวเลขวิธีหนึ่งที่นิยมใช้เนื่องจากขั้นตอนการคำนวณง่ายและผลเฉลยมีความแม่นยำ การเพิ่มความแม่นยำของผลเฉลยที่ได้จากการคำนวณโดยวิธีประจุพื้นผิวสามารถทำได้หลากหลายวิธี ตัวอย่าง เช่น การเพิ่มจำนวนเอลิเม้นต์ที่ใช้ในการคำนวณ แต่ทั้งนี้ การเพิ่มจำนวนเอลิเม้นต์จะส่งผลทำให้เวลาคำนวณและหน่วยความจำของเครื่องคอมพิวเตอร์ที่ใช้เพิ่มขึ้น อีกวิธีหนึ่งที่นิยมใช้เพิ่มความแม่นยำของผลเฉลย คือการใช้เอลิเม้นต์ผิวโค้งในการจำลองพื้นผิวของแบบจำลองให้มีความเสมือนจริงมากยิ่งขึ้น

บทความนี้เสนอวิธีการเพิ่มความแม่นยำของผลเฉลยที่ได้จากการตัดแปลงเอลิเม้นต์ผิวโค้งเก้าระดับชั้นความเร็ว [1] ในส่วนการคำนวณเวกเตอร์ตั้งจากหนึ่งหน่วย ณ ปมทั้งสามของเอลิเม้นต์สามเหลี่ยม การปรับปรุงการคำนวณเวกเตอร์ตั้งจากหนึ่งหน่วยทำโดยคิดผลของขนาดมุม

¹ อาจารย์ ประจารักษ์วิศวกรรมไฟฟ้า คณะวิศวกรรมศาสตร์ มหาวิทยาลัยเทคโนโลยีราชมงคลล้านนา
ต.คลองหกด. อ.อัญมุน จ.เชียงใหม่ 52110
โทร. (02) 549-3429, E-mail: p_nitipong@rmut.ac.th

ที่ปั๊มและผลของขนาดเอลิเมนต์ที่ต่อร่วมกันอยู่ ณ ปั๊มที่ 1 ซึ่งในบทความได้แสดงตัวอย่างการคำนวณสำนวนไฟฟ้าเพื่อเปรียบเทียบผลการคำนวณให้เห็นอย่างชัดเจน

2. เอลิเมนต์ผิวโคลงเก้าระดับชั้นความเร็ว

เอลิเมนต์ผิวโคลงเก้าระดับชั้นความเร็วเป็นเอลิเมนต์สามเหลี่ยมที่สร้างจากพังก์ชันรูปร่างทั้งหมด 9 สมการ ได้แก่ N_1, N_2, \dots, N_9 [2] พังก์ชันรูปร่างดังกล่าวคำนวณจากพิกัดและเวกเตอร์สัมผัส ณ ปั๊มทั้งสามของเอลิเมนต์ รูปที่ 1 แสดงลักษณะของเอลิเมนต์สามเหลี่ยมผิวโคลงเก้าระดับชั้นความเร็ว ตัวอย่างของสมการพังก์ชันรูปร่างที่ปั๊ม 1 คือ N_1, N_4 และ N_7 ซึ่งแสดงดังสมการที่ (1) (2) และ (3) ส่วน ณ ปั๊มที่ 1 ที่เหลือ

สมการพังก์ชันรูปร่างมีลักษณะทำงานองเดียวกัน

$$N_1 = L_1 - L_1 L_2^2 + L_1^2 L_2 + L_1^2 L_3 - L_1 L_2^2 \quad (1)$$

$$N_4 = -L_1^2 L_2 - L_1^2 L_3 - L_1 L_2 L_3 \quad (2)$$

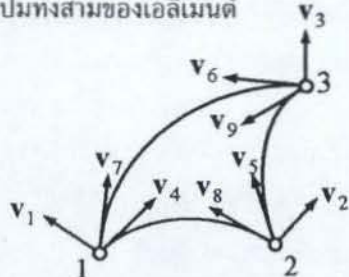
$$N_7 = L_1^2 L_2 + \frac{1}{2} L_1 L_2 L_3 \quad (3)$$

เมื่อ L_1, L_2 และ L_3 คือพิกัดพื้นที่ (Area Coordinate) ของรูปร่างสามเหลี่ยม [3]

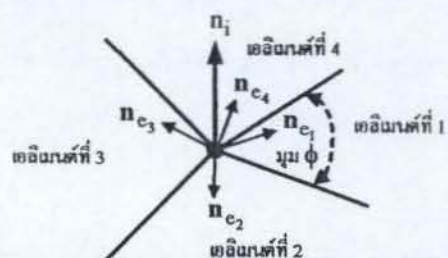
การคำนวณพิกัดบนพื้นผิวของเอลิเมนต์คำนวณจากสมการ

$$\mathbf{P} = \sum_{i=1}^9 N_i \mathbf{v}_i \quad (4)$$

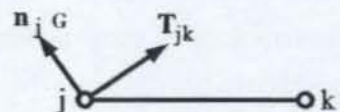
เมื่อ \mathbf{P} คือเวกเตอร์พิกัดบนเอลิเมนต์สามเหลี่ยม N_i คือพังก์ชันรูปร่าง และ \mathbf{v}_i คือเวกเตอร์พิกัดและเวกเตอร์สัมผัสที่ปั๊มทั้งสามของเอลิเมนต์



รูปที่ 1 เอลิเมนต์สามเหลี่ยมเก้าระดับชั้นความเร็ว



รูปที่ 2 การคำนวณเวกเตอร์ทั้งหน่วย ณ ปั๊มที่ 1 ได้ ฯ



รูปที่ 3 การคำนวณเวกเตอร์สัมผัสระหว่างปั๊มที่ j กับ k

ในบทความนี้ การคำนวณเวกเตอร์ตั้งจากหนึ่งหน่วย ณ ปั๊มทั้งสามของเอลิเมนต์สามเหลี่ยม เพื่อนำไปคำนวณเวกเตอร์สัมผัสแบ่งออกเป็น 2 กรณี

กรณีแรก การคำนวณเวกเตอร์ตั้งจากหนึ่งหน่วย ทำโดยรวมเวกเตอร์ตั้งจากหนึ่งหน่วย ณ ปั๊มของเอลิเมนต์ที่มีพิกัดเดียวกัน จากนั้นหารผลรวมของเวกเตอร์ดังกล่าวด้วยจำนวนเอลิเมนต์ที่ต่อร่วมอยู่กับปั๊มดังกล่าว สมการที่ใช้คำนวณเวกเตอร์ตั้งจากหนึ่งหน่วย ณ ปั๊มที่ i คือ

$$\mathbf{n}_i = \frac{\sum_{j=1}^m \mathbf{n}_{e_j}}{m} \quad (5)$$

เมื่อ \mathbf{n}_{e_j} คือเวกเตอร์ตั้งจากหนึ่งหน่วยที่ปั๊ม i , \mathbf{n}_{e_j} คือเวกเตอร์ตั้งจากหนึ่งหน่วยของเอลิเมนต์ที่ j ได้ ฯ ที่ต่อร่วมอยู่กับปั๊มที่ i และ m คือจำนวนเอลิเมนต์ทั้งหมดที่ต่อร่วมอยู่กับปั๊มที่ i และแสดงดังรูปที่ 2

กรณีที่สอง เป็นการปรับปรุงการคำนวณเวกเตอร์ตั้งจากหนึ่งหน่วย ณ ปั๊มทั้งสาม การปรับปรุงการคำนวณทำโดยคิดผลขนาดมุม ϕ และพื้นที่ของเอลิเมนต์ที่ต่อร่วมอยู่ ณ ปั๊มที่ i ดังรูปที่ 2 สมการคำนวณเวกเตอร์ตั้งจากหนึ่งหน่วยแบ่งออกเป็น 3 สมการ สมการแรกคิดเฉพาะผลของขนาดมุม ϕ สมการที่สองคิดเฉพาะพื้นที่ของเอลิเมนต์ ส่วนสมการที่สามคิดห้องผลของขนาดมุม ϕ และพื้นที่ของเอลิเมนต์รวมกัน

$$\mathbf{n}_i = \frac{\sum_{j=1}^m (\phi_j \mathbf{n}_{e_j})}{m} \quad (6)$$

$$n_i = \frac{\sum_{j=1}^m \left(n_{e_j} \right)}{m} \quad (7)$$

$$\mathbf{n}_i = \frac{\sum_{j=1}^m \left(\frac{\phi_j}{A_j} \mathbf{n}_{e_j} \right)}{m} \quad (8)$$

เมื่อ ϕ_j คือมุม ϕ ของэлемент j ที่ต่อร่วมอยู่ ณ ปมที่ i
และ A คือพื้นที่ของэлемент j ที่ต่อร่วมอยู่ ณ ปมที่ i

จากการคำนวณเวกเตอร์ตั้งจากหนึ่งหน่วยทั้งสองกรณี นำมารคำนวณเวกเตอร์ร่วมผสัชระหว่างปัจจุบันที่ j กับ k ดังรูปที่ 3 สมการที่ใช้คำนวณเหมือนกันคือ

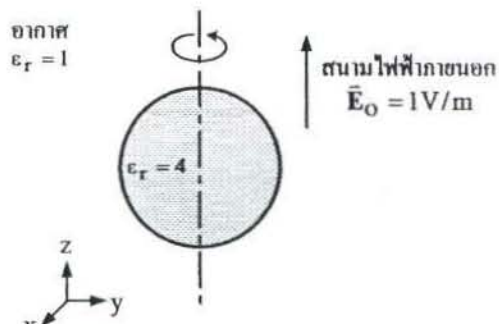
$$T_{jk} = \left\| X_{jk} \right\| \frac{X_{jk} - (X_{jk} \cdot n_j) n_j}{\left\| X_{jk} - (X_{jk} \cdot n_j) n_j \right\|} \quad (9)$$

เมื่อ T_{jk} คือเวกเตอร์สัมผัสระหว่างปมที่ j กับ k และ X_{ik} คือเวกเตอร์ระหว่างปมที่ j กับ k

3. ปัจจัยการคำนวณสนับสนุนไฟฟ้า

ปัญหาการคำนวณสนามไฟฟ้าในบทความนี้ เป็นการคำนวณสนามไฟฟ้าในทรงกลมจำนวนที่อยู่ภายใต้สนามไฟฟ้าสาม่เรื่อง แบบจำลองมีลักษณะดังรูปที่ 4 ทรงกลมจำนวนมีรัศมีเท่ากับ 1 เมตรและมีค่าส่วนปะยอมสัมพัทธ์ภายในทรงกลมเท่ากับ 4 จุดศูนย์กลางของทรงกลมอยู่ที่พิกัด $(0,0,0)$ บริเวณภายนอกทรงกลมเป็นอาการค่าส่วนปะยอมสัมพัทธ์เท่ากับ 1 และมีสนามไฟฟ้าภายนอก \bar{E}_o เท่ากับ $1V/m$ ในทิศทาง $+z$

การคำนวณสำหรับความถี่ที่ใช้วิธีประจุพื้นผิว โดยผังของแบบจำลองทรงกลมจำนวนถูกแบ่งเป็นอเลิเมนต์สามเหลี่ยมจำนวน 1,520 เอลิเมนต์ วิธีทำขั้นที่ใช้แก้ระบบสมการเชิงเส้น $A\sigma = b$ ที่ได้จากวิธีประจุพื้นผิวได้แก่ วิธีเกรดียนต์สังคัญคู่แบบเสถียร (Biconjugate Gradient Stabilized Method, BiCGSTAB) วิธีทำขั้นที่กำหนดความคลาดเคลื่อนยืนยัน (Tolerance) เท่ากับ 1×10^{-10} การคำนวณกระทำบนเครื่องคอมพิวเตอร์ที่ใช้ระบบปฏิบัติการลินุกซ์ ชิปปี้ Pentium 4 ความเร็ว 3.0GHz และมีหน่วยความจำเท่ากับ 1.5GB



รูปที่ 4 แบบจำลองทรงกลมฉนวนในสนามไฟฟ้า
สม่ำเสมอ

4. ผลการคำนวณส่วนไฟฟ้า

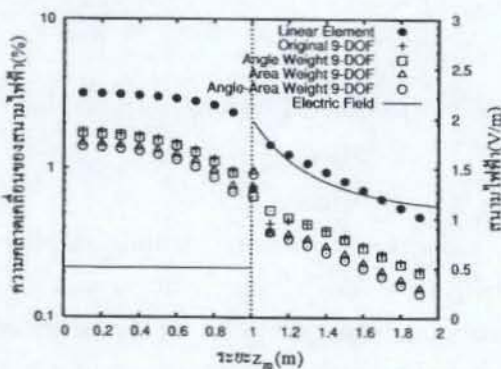
จากแบบจำลองทรงกลมจำนวนที่อยู่ภายใต้ส่วนไฟฟ้าสม่ำเสมอ ผู้เขียนได้คำนวณสนามไฟฟ้าตามแนวแกน z ที่จุด z_m เมื่อ ($0 < z_m < 2$) โดยเปรียบเทียบผลการคำนวณสนามไฟฟ้าในระหว่างการใช้ເອລີມເນຕໍສາມແລ້ວຍເຫັນເຊິ່ງເສັ້ນກັບการໃຊ້ເອລີມເນຕໍສາມແລ້ວຍຜົວໂຄງເກົ່າຕະຫຼັກຄວາມເສັ້ນແຕ່ລະກຣູປ໌ 5 ແສດ ຄວາມຜົດພາລາດຂອງສາມໄຟຟ້າຕາມแนวแกນ z ແລະ ລັກຍະຂອງສາມໄຟຟ້າ ໂດຍສາມໄຟຟ້າທີ່คำນວນໄດ້ກາຍໃນทรงกลમມມີຄ່າຄ່າທີ່ເຖິງກັນ $0.5V/m$ ສາມໄຟຟ້າກາຍນອກມີຄ່າສູງສຸດໃນເວລີມຜົວຂອງทรงກລມ ເຖິງກັນ $2V/m$ ແລະ z_m ມີຄ່າລວດໄວ້ອື່ນຕາມຮະຍະ z_m ທີ່ເພີ່ມຂຶ້ນຈຸນນີ້ຄ່າເຖິງກັນສາມໄຟຟ້າກາຍນອກຄືອ $1V/m$

การใช้เอลิเม้นต์สามเหลี่ยมเชิงเส้นในการคำนวณความคลาดเคลื่อนเฉลี่ยของสนามไฟฟ้าเท่ากับ 1.77% กรณีที่ใช้เอลิเม้นต์สามเหลี่ยมผิวโถงเก้าร์ดับชั้นความเสี่ร์ตันแบบ (Original 9-DOF) ความคลาดเคลื่อนเฉลี่ยของสนามไฟฟ้าลดลงเหลือ 0.87% การคิดผลของมุม ϕ และขนาดของเอลิเม้นต์ในการหาเวกเตอร์ตั้งฉากหนึ่งหน่วยเพื่อใช้ในการสร้างเอลิเม้นต์สามเหลี่ยมผิวโถงช่วยให้ความคลาดเคลื่อนเฉลี่ยของสนามไฟฟ้าลดลง การคิดผลของมุม ϕ และขนาดของเอลิเม้นต์เพียงอย่างเดียว (จากรูปที่ 5 ได้แก่ Angle Weight 9-DOF และ Area Weight 9-DOF) ช่วยลดความคลาดเคลื่อนเฉลี่ยของสนามไฟฟ้าลงเหลือ 0.85% และ 0.73% ตามลำดับ ส่วนการพิจารณาคิดผลของมุม ϕ และขนาดของเอลิเม้นต์ร่วมกัน (Angle-Area Weight 9-DOF) สามารถลดความคลาดเคลื่อนเฉลี่ยของสนามไฟฟ้าลงได้มากที่สุด ความคลาดเคลื่อนเฉลี่ย

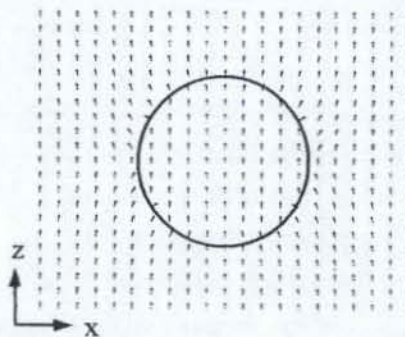
12 วารสารวิศวกรรมศาสตร์ ราชมงคลล้านบุรี

ลดลงประมาณ 62% โดยเปรียบเทียบกับกรณีใช้ เอลิเมนต์สามเหลี่ยมเชิงเส้น

รูปที่ 6 แสดงทิศทางสนามไฟฟ้าบริเวณภายใน และภายนอกทรงกลมจนวนที่ระนาบ $y=0$ เมื่อ $(-2 \leq x \leq 2)$ และ $(-2 \leq z \leq 2)$ โดยรูปวงกลมแสดง ขอบเขตของทรงกลมจนวน



รูปที่ 5 ความผิดพลาดของสนามไฟฟ้าตามแนวแกน z และ อัตราส่วนของสนามไฟฟ้า ($0 < z_m < 2$) เมตร



รูปที่ 6 เวกเตอร์สนามไฟฟ้าบนระนาบ $y = 0$ เมื่อ $(-2 \leq x \leq 2)$ และ $(-2 \leq z \leq 2)$ เมตร

5. สรุป

การตัดแบ่งเอลิเมนต์สามเหลี่ยมผิวโค้งเก้า ระดับชั้นความเร็วเพื่อเพิ่มความแม่นยำของผลเฉลยในการคำนวณสนามไฟฟ้าทำโดยการปรับปรุงการคำนวณ เวกเตอร์ดังจากหน่วยที่ปั๊มของเอลิเมนต์ การคิดผลของมนุษย์และขนาดเอลิเมนต์ได้ ฯ ที่ต่อร่วมกันอยู่ ช่วยเพิ่มความแม่นยำของผลเฉลย จากการคำนวณโดยใช้เอลิเมนต์ 1,520 เอลิเมนต์ พนบัวในกรณีการคิดผลของมนุษย์และของขนาดเอลิเมนต์อย่างได้อย่างหนึ่งเพียงอย่างเดียวสามารถลดความคลาดเคลื่อน

เฉลี่ยของสนามไฟฟ้าลงจาก 1.77% เหลือ 0.85% และ 0.73% ตามลำดับ ส่วนกรณีการคิดผลของมนุษย์และขนาดเอลิเมนต์ร่วมกันสามารถลดความคลาดเคลื่อนเฉลี่ยของสนามไฟฟ้าลงเหลือ 0.68% หรือลดลงประมาณ 62% ดังนั้นจะเห็นได้ว่า เราสามารถเพิ่มความแม่นยำในการคำนวณสนามไฟฟ้าโดยที่เราไม่ต้องเพิ่มจำนวนเอลิเมนต์ที่ใช้ในการคำนวณได้

6. กิตติกรรมประกาศ

ผู้เขียนขอขอบคุณ คณะวิศวกรรมศาสตร์ มหาวิทยาลัยเทคโนโลยีราชมงคลล้านบุรี ที่สนับสนุนงานประมาณในการทำวิจัยและเขียนบทความฉบับนี้ รวมถึงอาจารย์ประจำภาควิชาวิศวกรรมไฟฟ้าทุกท่าน ที่กรุณาให้คำแนะนำ และความคิดเห็นดีๆ ที่เป็นประโยชน์อย่างยิ่ง

เอกสารอ้างอิง

- [1] นิติพงศ์ ปานกลาง, “การใช้เอลิเมนต์ผิวโค้งเก้า ระดับชั้นความเร็วในการคำนวณสนามไฟฟ้า ด้วยวิธีประจุพื้นผิว”, วารสารวิศวกรรมศาสตร์ ราชมงคล, มหาวิทยาลัยเทคโนโลยีราชมงคลล้านบุรี, ปีที่ 3, ฉบับที่ 5, 2548.
- [2] H. Tsuboi, T. Takayama and K. Yano, “Setting Curved-Surface Triangular Element of Boundary Element Method for Electrostatic Field Problems”, IEEE Trans. on Magnetics, Vol.35, No.3, pp1,123-1,126, May 1999.
- [3] ปราโมทย์ เดชอ่าไฟ, “ระบบวิเคราะห์ไฟฟ้าในตัวเรือน” เพื่อการคำนวณพลศาสตร์ของไฟฟ้า”, สำนักพิมพ์แห่งจุฬาลงกรณ์มหาวิทยาลัย, กรุงเทพฯ, 2545.



ประวัติผู้เขียนบทความ

ชื่อ: นิติพงศ์ ปานกลาง

- ว.ศ.บ. มหาวิทยาลัยเทคโนโลยี ราชมงคลล้านบุรี พ.ศ. 2542

- ว.ศ.ม. จุฬาลงกรณ์มหาวิทยาลัย พ.ศ. 2547

- ปัจจุบันเป็นอาจารย์ประจำภาควิชาวิศวกรรมไฟฟ้า คณะวิศวกรรมศาสตร์ มหาวิทยาลัยเทคโนโลยีราชมงคลล้านบุรี สาขาวิชาจัลทร์ที่สนใจได้แก่ วิศวกรรมไฟฟ้า แรงสูง การคำนวณสนามไฟฟ้าด้วยวิธีเชิงตัวเลข



ในรูปของฝุ่น ก๊าซพิษ (เช่น SO_2 และ NO_2) ตลอดจนก๊าซคาร์บอนไดออกไซด์ (CO_2) ที่เป็นตัวการสำคัญที่ก่อให้เกิดภาวะเรือนกระจกซึ่งก่อให้เกิดความแปรปรวนของภูมิอากาศของโลก (Global Climate Changes) การผลิตปูนซีเมนต์ 1 ตันจะก่อให้เกิดมลภาวะต่างๆ ดังต่อไปนี้:

ก๊าซคาร์บอนไดออกไซด์ (CO_2)	จำนวน 1	ตัน (จากกระบวนการ De-carbonation) [1]
	จำนวน 0.06 ²	ตัน (จากการใช้พลังงานไฟฟ้า)
	จำนวน 0.19 ³	ตัน (จากการใช้ปีโตรเลียมโคล็อก)
ฝุ่น	จำนวน 0.104	ตัน [5]
ก๊าซ NO_x	จำนวน 1.383	ตัน [5]
ก๊าซ SO_x	จำนวน 0.152	ตัน [5]

เนื่องจากประเทศไทยมีการผลิตปูนซิเมนต์มากกว่า 30 ล้านตัน/ปี ดังนั้นอุตสาหกรรมผลิตปูนซิเมนต์จะก่อให้เกิด CO_2 , NO_x , SO_2 และฝุ่นจานวน 37.5, 41.5, 4.6 และ 3.1 ล้านตัน/ปี ตามลำดับ

ปริมาณของมลพิษดังกล่าวจะถูกปลดปล่อยให้กระจายอยู่ในบรรยากาศของประเทศไทย และประเทศไทยต้องเผชิญกับภัยคุกคามที่เกิดขึ้นนี้มีแนวโน้มว่าจะเพิ่มขึ้นตามการเจริญเติบโตของอุตสาหกรรมผลิตปูนซีเมนต์ในอนาคต ดังนั้นการวิจัยและพัฒนาวัสดุ Geopolymer สำหรับใช้เสริมความต้องการปูนซีเมนต์ จึงเป็นการช่วยลดปริมาณมลพิษจากกระบวนการผลิตปูนซีเมนต์ซึ่งถือเป็นการอนุรักษ์สิ่งแวดล้อมของประเทศไทยได้อีกด้วยทั้งนี้

5. สรุป

การวิจัย และพัฒนาวัสดุ Geopolymer เป็นทางเลือกเสริมความต้องการปูนซีเมนต์เพื่อการก่อสร้างระบบสารเคมีปีกคายในประเทศไทยแม้จะช่วยลดความต้องการใช้หินอุตสาหกรรมผลิตปูนซีเมนต์ลงในปริมาณไม่นัก (เพียง 1% ของปริมาณความต้องการปูนซีเมนต์ภายในประเทศ) แต่ก็สามารถลดปริมาณการนำเข้าเชื้อเพลิงฟอสซิลสำหรับอุตสาหกรรมผลิตปูนซีเมนต์ และการ

ผลิตไฟฟ้าลงได้ปัลสันบันพันล้านบาท นอกจานนี้ยังก่อให้เกิดการสร้างงาน สร้างรายได้ให้แก่ผู้ประกอบการที่เกี่ยวข้องทั้งระดับลดลงชุมชนที่อยู่ใกล้เคียง

ผลการศึกษาวิจัยเกี่ยวกับวัสดุ Geopolymer ที่ได้รับการเผยแพร่ต่างให้ข้อสรุปในแนวทางเดียวกันว่า การวิจัย และพัฒนาวัสดุ Geopolymer เพื่อเป็นวัสดุเสริม หรือเป็นวัสดุทางเลือกในการก่อสร้าง หรือการผลิตวัสดุก่อสร้างเป็นการช่วยลดปริมาณก๊าซ CO_2 จากกระบวนการผลิตปูนซีเมนต์ และการนำเข้าเต้า หรือเต้าลมยามาใช้ผลิตวัสดุ Geopolymer เป็นการลดปัญหาการจัดการของเหลือทิ้ง หรือขยะ [2] [3] [4] นอกจากนี้คุณสมบัติของ Geopolymer ที่มีค่าการนำความร้อนด้วยช่วยให้เกิดการอนุรักษ์พลังงานโดยเมื่อนำไปผลิตเป็นวัสดุก่อสร้างจะสามารถลดการนำความร้อนเข้าสู่ตัวอาคารเป็นการช่วยประหยัดพลังงานไฟฟ้าในส่วนของระบบปรับอากาศ

ดังนั้นอาจนับได้ว่าการวิจัย และพัฒนาวัสดุ Geopolymer เป็นทางเลือกเสริมความต้องการใช้ปูนซีเมนต์ ก่อให้เกิดประโยชน์ต่อเศรษฐกิจ สังคม และสิ่งแวดล้อมของประเทศไทยย่างบูรณาการ

² ค่า俆จากค่า Default conversion factor: 0.000618 tone CO₂/kWh สำหรับการผลิตไฟฟ้าในประเทศไทยซึ่งประเมินโดย The United Nations Framework Convention on Climate Change (UNFCCC)

ค่า係数จากตัว Default conversion factor: 3.09 tone CO₂/tone fuel สำหรับเชื้อเพลิงปิโตรเลียมโดย The United Nations Framework Convention on Climate Change (UNFCCC)

เอกสารอ้างอิง

- [1] Hardjito, W.S.E, Sumajouw, D.M.J., Rangan, B.V. 2004, Cementless Fly Ash-Based Geopolymer Concrete : From Waste to Benefit, Paper, Workshop on Fly Ash, December 2004, India.
- [2] SCG 2003, Sustainability Report 2003, The Siam Cement Group, Bangkok.
- [3] Gourly, J.T. 2003, Geopolymers; Opportunities for Environmentally Friendly Construction materials, A keynote paper at Materials 2003 Conference, Adaptive Materials for a Modern Society, Institute of Materials Engineerings Australia, 1–3 October, Sydney.
- [4] GI 1997, A New Way to Reduce Global Warming, The Geopolymer Institute, <http://www.geopolymer.org>, June 30.
- [5] SCI 2002, Environmental Report 2002, The Siam Cement Industry Co., Ltd., Bangkok

ประวัติผู้เขียนบทความ

ชื่อ-สกุล: นายวีรชัย สุนทรัตน์บรรด์

การศึกษา:

วท.บ. (ฟิสิกส์) มหาวิทยาลัยรามคำแหง

วท.ม. (เทคโนโลยีพลังงาน) มหาวิทยาลัย

เทคโนโลยีพระจอมเกล้าธนบุรี

Ph.D. (Energy Planning), University of Melbourne, Australia

ตำแหน่ง: นักวิชาการ 7

ฝ่ายสิ่งแวดล้อมนิเวศวิทยา และ
พลังงาน (ฝ่าว.)

สถาบันวิจัยวิทยาศาสตร์ และ
เทคโนโลยีแห่งประเทศไทย (วว.)

196 ถนนพหลโยธิน แขวงลาดยาว
เขตจตุจักร กรุงเทพฯ 10900

โทร. 02 5791121-30 ต่อ 2102

โทรสาร. 02 5796517

E-mail: wirachai@tistr.or.th

สาขาวิจัยที่สนใจ:

- เทคโนโลยีที่เกี่ยวข้องกับการใช้ประโยชน์พลังงานทดแทนประเภทชีวมวล
- เทคโนโลยีสะอาด และกระบวนการลดการปลดปล่อยก๊าซเรือนกระจก
- เทคโนโลยีการแปรรูปของเหลือทิ้งทางการเกษตร เกษตรอุดสาหกรรม อุตสาหกรรม และขยะชุมชนเป็นแหล่งพลังงาน

